

استخراج پیکسل‌های خالص با استفاده از فضای ویژگی مبتنی بر پارامترهای فیزیکی به منظور برآورد پوشش اراضی در سطح زیرپیکسل

مجتبی جنتی^{۱*}، میلاد نیرومند جدیدی^۲، محمدجواد ولدان‌زوج^۳، علی محمدزاده^۴

۱- دانشجوی کارشناسی ارشد مهندسی سنجش از دور، دانشگاه صنعتی خواجه نصیرالدین طوسی، تهران، ایران

۲- دانشجوی کارشناسی ارشد مهندسی سنجش از دور، دانشگاه صنعتی خواجه نصیرالدین طوسی، تهران، ایران

۳- دانشیار گروه مهندسی سنجش از دور، دانشگاه صنعتی خواجه نصیرالدین طوسی، تهران، ایران

۴- استادیار گروه مهندسی سنجش از دور، دانشگاه صنعتی خواجه نصیرالدین طوسی، تهران، ایران

دریافت: ۹۰/۱۲/۱۵ پذیرش: ۹۱/۲/۲۳

چکیده

تخمین دقیق سطح پوشش اراضی نقش بسیار مهمی در برنامه‌ریزی و مدیریت بهینه محیط جغرافیایی ایفا می‌کند. روش‌های مختلف طبقه‌بندی تصاویر سنجش از دور به منظور استخراج پوشش اراضی توسعه یافته‌اند. به دلیل ضعف روش‌های طبقه‌بندی سخت در پیکسل‌های مخلوط، استفاده از روش‌های طبقه‌بندی نرم به منظور برآورد سهم تعلق کلاس‌های مختلف پوشش اراضی در پیکسل‌های مخلوط موردن توجه قرار گرفته است. مدل اختلاط طیفی خطی یکی از روش‌های رایج در این حوزه است. دقت این مدل به شدت به کیفیت پیکسل‌های خالص معروفی شده به آن وابسته است و از سوی دیگر، استخراج این پیکسل‌ها عموماً دشوار و چالش‌برانگیز است. در تحقیق حاضر، استفاده از پارامترهای فیزیکی (درخشندگی، رطوبت و سبزینگی) برای استخراج پیکسل‌های خالص پیشنهاد شده است. برای ارزیابی کیفیت پیکسل‌های خالص استخراج شده از این روش، از معیارهای ارزیابی مدل اختلاط طیفی غیرشرطی استفاده شده است. بدین منظور، با پیاده‌سازی این مدل در منطقه مطالعاتی، RMSE کل تصویر ۲/۶۸ و تعداد پیکسل‌های با سهم تعلق منفی یا بزرگ‌تر از یک، ۴/۴۳ درصد برآورد شد. به



این ترتیب، روش پیشنهادی دقت مطلوبی را در نتایج مدل اختلاط طیفی خطی و بدون اعمال هیچ شرطی در این مدل فراهم کرده است.

واژه‌های کلیدی: پوشش اراضی، مدل اختلاط طیفی، پیکسل خالص، پارامتر فیزیکی.

۱- مقدمه

با توجه به اهمیت اطلاعات دقیق درباره پوشش اراضی بهمنظر مدیریت، بررسی تغییرات و پیش‌بینی پدیده‌های جغرافیایی (Tatem Et al., 2002)، طبقه‌بندی تصاویر نخستین مرحله از فرایند سنجش از دور است که در بحث عدم قطعیت مورد ارزیابی قرار گرفته است (Woodcock, 2002). در این میان، پیکسل‌های مخلوط به عنوان یکی از مهم‌ترین منابع عدم قطعیت در استخراج پوشش اراضی شناخته شده است (Zhu, 2005; Foody, 2006).

در روش‌های طبقه‌بندی سخت^۱ مانند الگوریتم بیشترین شباهت، هر پیکسل متناظر با تنها یک نوع کلاس کاربری درنظر گرفته می‌شود (Tatem Et al., 2002). با توجه به نادیده گرفتن اختلاط طیفی کلاس‌های کاربری در سطح زیرپیکسل، استفاده از طبقه‌بندی کننده‌های سخت مستعد عدم قطعیت‌های بسیار بالا درباره ماهیت پیکسل‌هاست. به این ترتیب، روش‌های طبقه‌بندی نرم^۲ مانند مدل اختلاط طیفی خطی^۳ (LSMM, Foody & Cox, 1994)، فازی (Bezdek Et al., 1984; Foody, 1996)، C-Means (1994)، ماشین بردار پشتیبان^۴ (Liu Et al., 1999)، شبکه‌های عصبی و روش‌های آموزش چندبرچسبی^۵ (Brown Et al., 1999) توسعه یافته است. در این میان، الگوریتم LSMM به عنوان یکی از مهم‌ترین و پرکاربردترین روش‌ها برای به‌دست آوردن اطلاعات در سطح زیرپیکسل شناخته شده است (غفوری، ۱۳۸۵؛ Brown Et al., 2000; Foody, 2006). عملکرد بهینه الگوریتم LSMM مستلزم معرفی پیکسل‌های خالص با دقت مناسب است. بنابراین، روش‌های مختلفی برای استخراج پیکسل‌های خالص معرفی شده است. در تحقیق حاضر از فضای ویژگی مبتنی بر پارامترهای فیزیکی حاصل از تبدیل Tasseled Cap برای استخراج عناصر خالص استفاده

-
1. Hard Classification
 2. Soft Classification
 3. Linear Spectral Mixture Model
 4. Support Vector Machine
 5. Multilabel Learning Algorithms

شده است. برای ارزیابی دقت روش پیشنهادی، پیکسل‌های استخراج شده به عنوان ورودی الگوریتم LSMM غیرشرطی درنظر گرفته شده و خطای RMS و تعداد پیکسل‌های با سهم تعلق خارج از بازه [۱۰] محاسبه شده است.

نخست منطقه مورد مطالعه و داده‌های مورد استفاده در تحقیق و سپس انواع پیکسل‌های مخلوط و مشکلات آن‌ها معرفی می‌شود. درادامه، مدل اختلاط طیفی خطی، نقش پیکسل‌های خالص و نحوه ارزیابی عملکرد این مدل مورد بحث و بررسی قرار می‌گیرد. نحوه استخراج پارامترهای فیزیکی براساس تبدیل Tasseled Cap و روش پیشنهادی جهت استخراج عناصر خالص مبتنی بر این پارامترها تشریح می‌شود. سرانجام، نتایج پیاده‌سازی، بحث و نتیجه‌گیری بیان می‌شود.

۲- مواد و روش‌ها

۲-۱- منطقه مورد مطالعه

منطقه مورد مطالعه بخشی از حوضه آبریز سد ستارخان در استان آذربایجان شرقی است. این منطقه در مختصات جغرافیایی «۴۶ درجه و ۵۰ دقیقه» تا «۴۶ درجه و ۵۷ دقیقه» طول شرقی و «۳۸ درجه و ۲۶ دقیقه» تا «۳۸ درجه و ۳۱ دقیقه» عرض شمالی واقع شده است. از تصویر ETM+ سال ۲۰۰۱ منطقه برای پیاده‌سازی استفاده شده است.

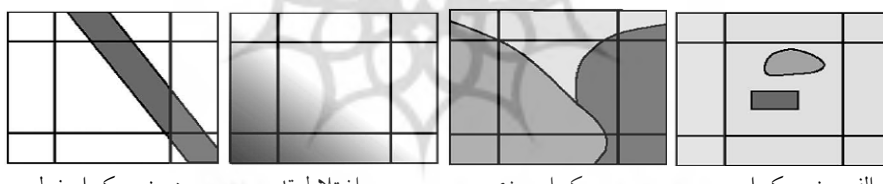


شکل ۱ منطقه مورد مطالعه و تصویر ETM+ سال ۲۰۰۱

۲-۲- پیکسل‌های مخلوط

یک فرض اساسی در سنجش از دور این است که هر پیکسل در تصویر نشان‌دهنده سطحی از زمین است که فقط شامل یک نوع کلاس است؛ اما درباره پیکسل‌های مخلوط که شامل بیش از یک نوع کلاس کاربری‌اند، این فرض صادق نیست (دستوریان، ۱۳۸۱؛ Fisher, 1997; Cracknell, 1998).

پیکسل‌های مخلوط به دلیل مناسب نبودن اندازه پیکسل‌ها جهت اخذ جزئیات زمینی برای کاربردهای خاص بوجود می‌آیند. به عبارت دیگر، زمانی که میدان دید لحظه‌ای،^۱ یعنی سطحی از زمین که توسط سنجنده مشاهده می‌شود (یاخته تفکیک)^۲، شامل بیش از یک نوع پوشش اراضی باشد؛ در این صورت پیکسل حاوی بیش از یک کلاس بوده و پیکسل مخلوط شناخته می‌شود (Fisher, 1997; Foody, 2006). مشکل وجود پیکسل‌های مخلوط در تمام سنجنده‌ها با قدرت تفکیک‌های مکانی مختلف وجود دارد (Tatem Et al., 2002). اولین مطالعه در زمینه پیکسل‌های مخلوط را هارویتز^۳ و همکاران (1971) انجام دادند. به طور کلی، چهار نوع پیکسل مخلوط مطابق شکل شماره دو دسته‌بندی شده است (Foody, 2006; Fisher, 1997).



شکل ۲ انواع پیکسل‌های مخلوط

بدون حل مشکل پیکسل‌های مخلوط، تمام پتانسیل سنجش از دور برای استخراج اطلاعات پوشش اراضی قابل بهره‌برداری نخواهد بود (Foody, 2006; Atkinson et al., 1997). به این ترتیب، روش‌های طبقه‌بندی نرم برای تعیین سهم کلاس‌های مختلف در سطح زیرپیکسل توسعه یافته است. LSMM یک روش متداول در این زمینه به شمار می‌آید.

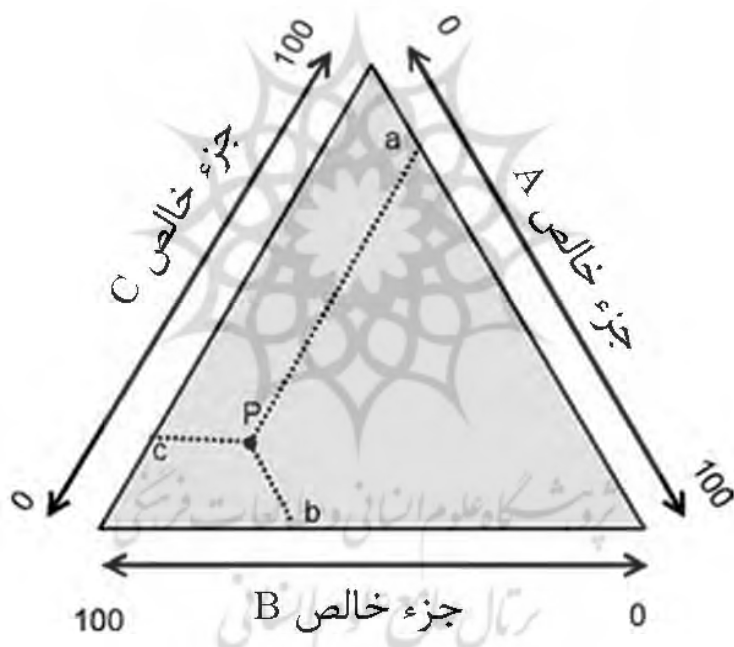
1. Instantaneous Field of View (IFOV)

2. resolution cell

3. Horowitz

۳-۲- مدل اختلاط طیفی خطی (LSMM)

تجزیه اختلاط طیفی^۱ فرایندی است که هر پیکسل را به تعدادی کلاس تفکیک می‌کند و یک روش متداول برای حل مشکل پیکسل‌های مخلوط به‌شمار می‌آید (Cross Et l., 1991; Drake & White, 1991; Lucas Et al., 2002) است که طیف دریافتی از عوارض مختلف داخل پیکسل به صورت خطی ترکیب می‌شوند (Settle & Drake, 1993; Zhu, 2005) سهم کلاس‌های مختلف در یک پیکسل براساس منحنی بازتاب طیفی پیکسل و اجزای تشکیل‌دهنده آن است (شکل ۳، رابطه ۱).



شکل ۳ اجزای خالص (A، B و C) و اختلاط طیفی خطی

$$x_k = Ef + e$$

رابطه ۱

1. spectral unmixing

در رابطه بالا، E ماتریس مربوط به طیف عناصر خالص است؛ ببرداری است که سهم هریک از کلاس‌ها را در سطح زیرپیکسل تعیین می‌کند و براساس آن نقشه‌های نسبتی^۱ (به ازای هر کلاس یک نقشه) تولید می‌شود؛ e نیز خطای باقی‌مانده را نشان می‌دهد.

۲-۳-۱- انتخاب پیکسل‌های خالص

تعیین اجزای خالص عموماً دشوار بوده (Williamson, 1994; Atkinson *et al.*, 1997) و مهم‌ترین بخش فرایند LSMM^۲ است. برای انتخاب اجزای خالص دو روش مهم در نظر گرفته می‌شود: الف- انتخاب اجزای خالص از کتابخانه طیفی (علوم^۳)؛ ب- انتخاب اجزای خالص از پیکسل‌های خالص تصویر (اشتقاقی^۴).

اگر منطق Z مورد نظر از تغییرات بهم پیوسته اجزای خالص تشکیل شده باشد، یافتن پیکسل‌های خالص در این منطقه غیرمنطقی به نظر می‌رسد. بنابراین، در برخی تحقیقات از طیف آزمایشگاهی برای توصیف اجزای خالص استفاده شده است. این نوع طیف‌ها اجزای خالص مرجع^۴ یا معلوم نامیده می‌شوند (Adams *et al.*, 1993). با توجه به اینکه طیف‌های آزمایشگاهی در واحد رادیانس ثبت می‌شوند، داده‌های تصویری باید کالیبره شده، تصحیح اتمسفری بر روی آن‌ها انجام شود (Mather, 2004). به این ترتیب، در بیشتر موارد از پیکسل‌های خالص اشتقاقی استفاده می‌شود. تعیین دقیق این پیکسل‌ها از اهمیت بسزایی در کارآیی الگوریتم LSMM^۵ برخوردار است. در ادامه، با رویکرد بررسی نقش پیکسل‌های خالص در نتایج الگوریتم LSMM^۶، روش‌های ارزیابی این الگوریتم را مورد واکاوی قرار می‌دهیم.

۲-۳-۲- ارزیابی عملکرد الگوریتم LSMM

برای حل معادله مدل اختلاط طیفی خطی روش‌های مختلفی وجود دارد. در برخی روش‌ها، دو شرط مثبت بودن سهم کلاس‌ها و واحد بودن مجموع آن‌ها لحاظ می‌شود که روش‌های

1. fractional maps
2. known and members
3. derived and members
4. reference and members

شرطی نامیده می‌شوند. در این روش‌ها به منظور تأمین این شروط، مقادیر محاسبه شده برای سهم کلاس‌ها تغییر می‌یابند که مستعد ایجاد عدم قطعیت هستند. در یک روش که غیرشرطی^۱ نامیده می‌شود، معادله یادشده بدون درنظر گرفتن هیچ شرطی حل می‌شود. به این ترتیب، ممکن است مقادیر f_i در خارج از بازه $[0-1]$ قرار گیرند. مزیت روش غیرشرطی این است که می‌توان عملکرد مدل اختلاط خطی را در توصیف داده‌های مورد نظر تخمین زد. شاخص‌های زیر برای ارزیابی میزان انطباق مدل استفاده می‌شوند:

- مقدار باقی‌مانده (e_i) در معادله اختلاط: در هر باند طیفی یک مقدار باقی‌مانده وجود دارد که اختلاف بین مقدار پیکسل مشاهداتی و مقدار محاسبه شده از LSMM را نشان می‌دهد.
- خطای RMS کل مربوط به هر پیکسل مطابق رابطه زیر محاسبه می‌شود:

$$RMSE = \sqrt{\frac{\sum_{b=1}^m e_b^2}{m}} \quad \text{رابطه ۲}$$

خطای RMS برای تمام پیکسل‌های تصویر محاسبه شده است و در مقیاس $0-255$ درنظر گرفته می‌شود تا تصویر خطای RMS تولید شود. هرچه این خطا بزرگ‌تر باشد، انطباق مدل کمتر است. با توجه به فرض تصادفی بودن باقی‌مانده‌ها، هرگونه الگوی مکانی در تصویر RMS بیانگر این است که عناصر خالص احتمالی دیگری در مدل لحاظ نشده یا عناصر خالص انتخاب شده مناسب نیستند. همچنین، ممکن است رابطه خطی $x = Ef$ برای توصیف ارتباط بین طیف پیکسل و طیف عناصر خالص مناسب نبوده است (Mather, 2004; Richards & Jia, 2006).

- تعداد پیکسل‌هایی که مقادیر f_i در خارج از بازه منطقی $[0-1]$ قرار می‌گیرند: اگر تعداد پیکسل‌های با مقادیر f_i منفی^۲ و بزرگ‌تر از یک^۳ بیشتر از ۵ درصد باشد، مدل انطباق خوبی ندارد (Mather, 2004). برای حل غیرشرطی الگوریتم LSMM، معکوس ماتریس E باید

1. Unconstrained
2. under-shoots
3. over-shoots



محاسبه شود. اگر ستون‌های ماتریس E (بازتاب اجزای خالص) دارای وابستگی زیادی باشند، خطای زیادی وارد محاسبات می‌شود و ماتریس E متمایل به منفرد^۱ نامیده می‌شود (Sohn & McCoy, 1997). اگر یک ستون از ماتریس E از مقادیر سایر ستون‌ها قابل محاسبه باشد، در این حالت E منفرد بوده و معکوس آن و درنتیجه معادلات کمترین مربعات قابل محاسبه نخواهد بود. همچنین، در حالت متمایل به منفرد بودن ماتریس E ، بهویژه در تصاویر چندطیفی (در مقابله تصاویر فراتیفی) با توجه به کم بودن تعداد مشاهدات، خطای زیادی در جواب معادلات (f) به وجود می‌آید (Mather, 2004).

بنابراین، در صورت استفاده از مدل اختلاط غیرشرطی لازم است تعداد پیکسل‌های خارج از محدوده و همچنین خطای RMS کل بهمنظور فراهم آوردن امکان ارزیابی میزان انطباق مدل ارائه شود. همان‌طور که اشاره شد، معرفی پیکسل‌های خالص نقش اساسی را در میزان انطباق مدل ایفا می‌کند. به این ترتیب، در این تحقیق برای ارزیابی پیکسل‌های خالص استخراج شده از این دو معیار استفاده خواهد شد. در ادامه، تبدیل Cap و روش پیشنهادی مبتنی بر این تبدیل برای استخراج پیکسل‌های خالص آمده است.

۴-۲- تبدیل Cap

تبدیل Tasseled Cap یک فضای ویژگی جدید مبتنی بر پارامترهای فیزیکی را ارائه می‌کند. این تبدیل نخست برای سنجنده Landsat MSS (Kauth & Thomas, 1976) و سپس برای داده‌های با ابعاد بیشتر مانند TM و Landsat ETM+ توسعه داده شد (Crist & Cicone, 1984). در این مدل، باند حرارتی فروسرخ Landsat در نظر گرفته نشده و براساس آن، شش ویژگی جدید تولید می‌شود که درخشندگی^۲، سبزینگی^۳ و رطوبت^۴ مهم‌ترین آن‌ها هستند. پارامتر درخشندگی از طریق محاسبه میانگین وزن دار شش باند TM به دست می‌آید. پارامتر سبزینگی به عنوان کتراست بین باندهای مرئی و فروسرخ نزدیک با تأثیرپذیری اندک از باندهای ۵ و ۷ تعریف شده است. پارامتر رطوبت به عنوان

1. near-singular
2. brightness
3. greenness
4. wetness

کنتراست بین باندهای فروسرخ میانه (۵ و ۷) و باندهای قرمز / فروسرخ نزدیک (۳ و ۴) تعیین شده است. صفحه تعریف شده توسط پارامترهای سبزینگی و درخشندگی، صفحه پوشش گیاهی و صفحه متشكل از پارامترهای درخشندگی و رطوبت صفحه خاک نامیده می شود (Crist & Cicone, 1984).

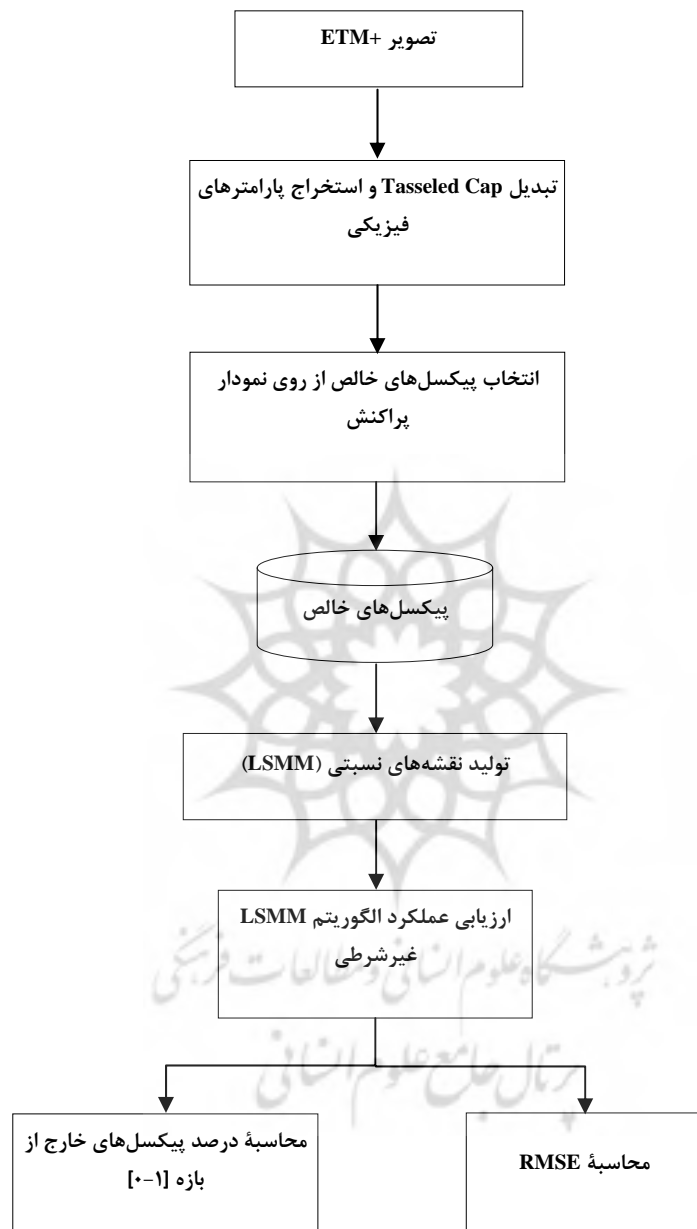
جدول ۱ ضرایب تبدیل Landsat TM برای سنجنده Tasseled Cap

باند TM	۱	۲	۳	۴	۵	۷
درخشندگی	۰/۳۰۳۷	۰/۲۷۹۳	۰/۴۳۴۳	۰/۵۵۸۵	۰/۵۰۸۲	۰/۱۸۶۳
سبزی	-۰/۲۸۴۸	-۰/۲۴۳۵	-۰/۵۴۳۶	۰/۷۲۴۳	۰/۰۸۴۰	-۰/۱۸۰۰
رطوبت	۰/۱۵۰۹	۰/۱۷۹۳	۰/۳۲۹۹	۰/۳۴۰۶	-۰/۷۱۱۲	-۰/۴۵۷۲

۲-۵- روشن پیشنهادی

در تحقیق حاضر، استفاده از تبدیل Tasseled Cap برای به دست آوردن پیکسل های خالص پیشنهاد می شود. انگیزه اصلی استفاده از این تبدیل، مستقل آماری بودن پارامترهای فیزیکی حاصل از آن است (Mather, 2004). با توجه به آنچه گفته شد (ر.ک: بخش ۲-۳)، مستقل بودن عناصر خالص در کاهش خطای الگوریتم LSMM نقش کلیدی ایفا می کند. براساس این، روند کلی برای استخراج پیکسل های خالص مطابق شکل شماره چهار پیشنهاد شده است. به این ترتیب، نخست با استفاده از تبدیل Tasseled Cap پارامترهای فیزیکی (درخشندگی، سبزینگی و رطوبت) استخراج می شوند و پیکسل های خالص براساس نمودار پراکنش^۱ صفات خاک و پوشش گیاهی تعیین می شوند. در ادامه، به منظور برآورد دقیق پیکسل های خالص انتخاب شده، عملکرد الگوریتم LSMM غیرشرطی با استفاده از این پیکسل ها ارزیابی شده است. بدین منظور، خطای RMS و تعداد پیکسل های غیر منطقی با مقادیر بیشتر از یک و یا کمتر از صفر محاسبه شده است.

1. Scatter Plot



شکل ۴ روش پیشنهادی برای استخراج پیکسل‌های خالص جهت ورود به الگوریتم LSMM

۳- پیاده‌سازی و نتایج

با اعمال تبدیل Tasseled Cap بر روی تصویر ETM+ منطقه مورد مطالعه، سه شاخص درخشندگی، سبزینگی و رطوبت استخراج شد (شکل ۵). در ادامه، با ترسیم نمودار پراکنش این شاخص‌ها، صفات موسوم به خاک و پوشش گیاهی جهت انتخاب پیکسل‌های خالص تولید شد (شکل ۶). به این ترتیب، پیکسل‌های خالص به عنوان نقاط گوشاهی نمودار پراکنش انتخاب شده‌اند. این نقاط به گونه‌ای انتخاب شده‌اند که از تراکم نسبی بالایی برخوردار باشند (درنظر نگرفتن نقاط منفرد که حالت برون‌هشته^۱ دارند). این امر به آسانی و به صورت بصری می‌تواند با دقت بالایی صورت پذیرد. درنهایت، میانگین مجموعه پیکسل‌های انتخاب شده برای هر عنصر خالص به عنوان طیف مربوط به آن عنصر درنظر گرفته شده است.



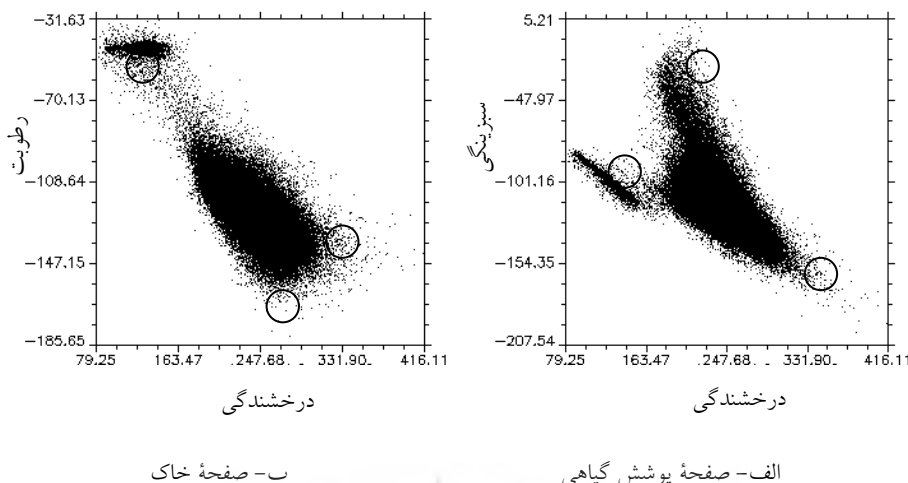
الف- شاخص درخشندگی خاک ب- شاخص سبزینگی



ج- شاخص رطوبت

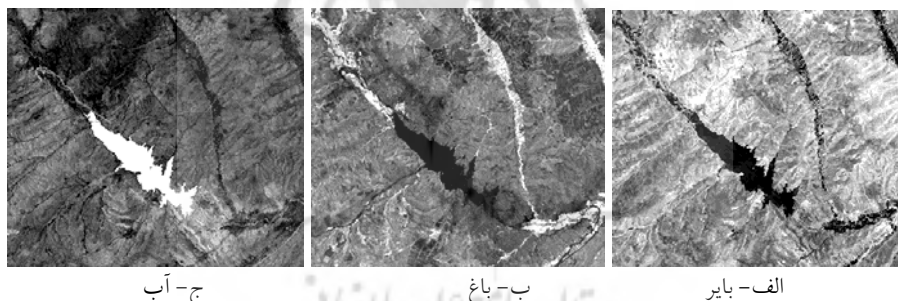
شکل ۵ پارامترهای فیزیکی حاصل از تبدیل Tasseled Cap

1. Outlier



شکل ۶ انتخاب پیکسل‌های خالص براساس نمودار پراکنش حاصل از پارامترهای فیزیکی

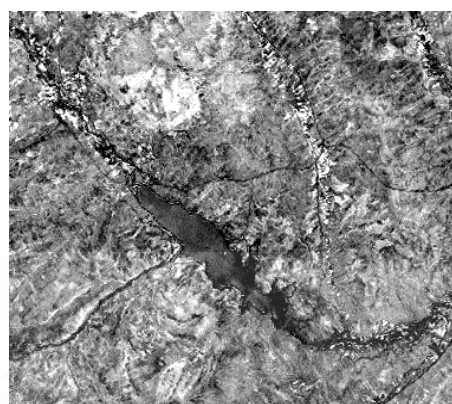
پیکسل‌های خالص انتخاب شده ورودی الگوریتم LSMM درنظر گرفته شده‌اند و نقشه‌های نسبتی تولید شده است (شکل ۷).



شکل ۷ نقشه‌های نسبتی حاصل از الگوریتم LSMM غیرشرطی

برای ارزیابی دقت پیکسل‌های خالص، عملکرد الگوریتم LSMM غیرشرطی با محاسبه RMSE (شکل ۸) و تعداد پیکسل‌های خارج از بازه [۰-۱۰] بررسی شد. بدین ترتیب، مقدار RMSE کل ۲/۶۸ و مجموع پیکسل‌های با مقادیر منفی و بیشتر از یک ۴/۴۳ درصد (کمتر از

۵ درصد) از کل پیکسل‌های تصویر را شامل می‌شود (جدول ۲). بنابراین، دقت پیکسل‌های خالص انتخاب شده در حد مطلوب بوده و شرایط لازم را بدون اعمال هیچ شرطی در الگوریتم LSMM فراهم کرده است.

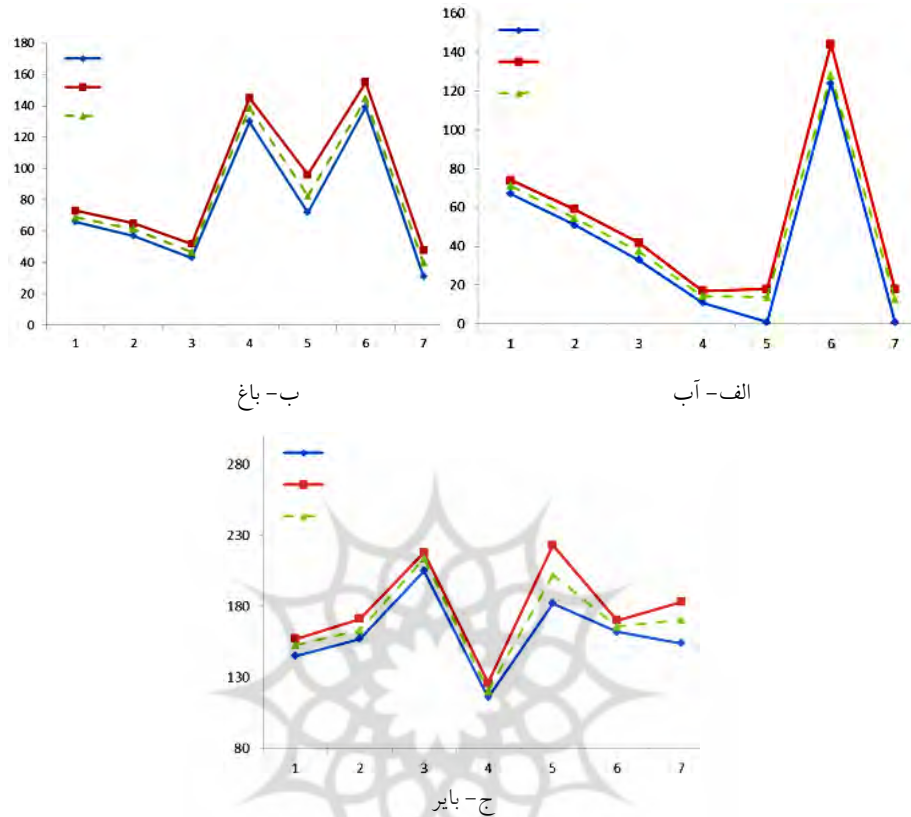


شکل ۸ نقشه RMSE مربوط به نقشه‌های نسبتی

جدول ۲ اطلاعات پیکسل‌های خارج از بازه [۰-۱]

پیکسل‌های با مقادیر بزرگ‌تر از یک	پیکسل‌های با مقادیر منفی			
درصد	تعداد	درصد	تعداد	
۰/۰۲	۲۷	۰/۲۴	۲۹۵	بایر
۰/۰۲	۲۸	۳/۰۳	۳۸۰۴	باغ
۰/۴۸	۶۰۳	۰/۶۴	۸۰۹	آب
۰/۵۲	۶۵۸	۳/۹۱	۴۹۰۸	مجموع

همچنین، پیکسل‌های انتخاب شده برای هر کلاس همگونی بالایی دارد و میزان تغییرات آنها بسیار اندک است. نحوه پراکندگی عناصر خالص انتخاب شده در شکل شماره نه و انحراف معیار آنها در باندهای مختلف تصویر در جدول شماره سه نمایش داده شده است.



شکل ۹ بیشینه، کمینه و میانگین پیکسل‌های خالص انتخاب شده در باندهای مختلف

جدول ۳ انحراف معیار پیکسل‌های خالص انتخاب شده در باندهای مختلف

آب	باغ	بایر	
۱/۵۵	۱/۶۹	۲/۶۴	باند ۱
۱/۶۸	۱/۹۶	۳/۶۸	باند ۲
۱/۸۰	۲/۶۱	۳/۹۳	باند ۳
۱/۲۷	۴/۴۴	۳/۰۳	باند ۴
۳/۴۸	۶/۱۴	۹/۲۶	باند ۵
۴/۰۸	۴/۰۹	۳/۱۲	باند ۶
۲/۹۴	۴/۴۲	۸/۹۵	باند ۷

با توجه به جدول شماره سه، انحراف معیار باندها برای کلاسی نظیر آب که از یکنواختی بیشتری برخوردار است، مقادیر بسیار اندکی دارند. با توجه به اینکه دو کلاس دیگر طبقه‌بندی خود می‌توانند به زیرکلاس‌های دیگری تفکیک شوند (برای نمونه می‌توان درجات مختلفی را برای پوشش گیاهی مربوط به کلاس باع درنظر گرفت)، تاحدودی بیشتر بودن انحراف معیار باندها برای این کلاس‌ها توجیه‌پذیر است. با وجود این، طبقه‌بندی کلاس‌های پوششی غالب مورد نظر این تحقیق بوده است که می‌توان گفت مقادیر انحراف معیار قابل قبول‌اند.

۴- بحث و نتیجه‌گیری

تعیین سهم هریک از کلاس‌های پوشش اراضی در سطح زیرپیکسل، در کاهش عدم قطعیت طبقه‌بندی کننده‌های سخت و درنتیجه برآورده دقیق سطح پوشش اراضی اهمیت بسزایی دارد. در این میان، مدل اختلاط طیفی خطی از روش‌های مرسوم طبقه‌بندی نرم تصاویر است. عملکرد این مدل به شدت تحت تأثیر دقت ورودی مدل، پیکسل‌های خالص، است. در تحقیق حاضر، روشی براساس پارامترهای فیزیکی حاصل از تصویر جهت استخراج عناصر خالص معرفی شده است. از تبدیل Cap Tasseled، سه پارامتر درخشنندگی، رطوبت و سبزینگی استخراج شد و براساس نمودار پراکنش صفحات خاک و پوشش گیاهی، پیکسل‌های خالص استخراج شد. ویژگی مهم و مورد توجه پارامترهای فیزیکی در این تحقیق، مستقل آماری بودن این پارامترها و درنتیجه کاهش خطای مربوط به متمایل به منفرد بودن ماتریس عناصر خالص در مدل اختلاط طیفی خطی است. برای بررسی دقت پیکسل‌های خالص انتخاب شده براساس روش پیشنهادی، عملکرد الگوریتم LSMM غیرشرطی ارزیابی شد. در الگوریتم LSMM غیرشرطی، هیچ شرطی برای مثبت بودن سهم کلاس‌ها و واحد بودن مجموع آنها لحاظ نمی‌شود. به همین دلیل، برای ارزیابی دقت پیکسل‌های خالص بسیار مؤثر است. پس از پیاده‌سازی الگوریتم LSMM غیرشرطی، دو معیار RMSE و تعداد پیکسل‌های با سهم تعلق خارج از بازه [۰-۱] برآورد شد. براساس نتایج، RMSE کل ۲/۶۸ و تعداد کل پیکسل‌های با سهم تعلق منفی یا بزرگ‌تر از یک، ۴/۴۳ درصد (کمتر از ۵ درصد) برآورد شد. بنابراین، بدون اعمال هیچ شرطی در مدل LSMM و فقط با استفاده از پیکسل‌های خالص استخراج شده از

روش پیشنهادی، دقت لازم در نتایج به دست آمد. تبدیل Cap Tasseled Landsat توسعه یافته و توسعه الگوریتم‌های استخراج پارامترهای فیزیکی برای سایر سنجنده‌ها می‌تواند افق تحقیقات آتی در این زمینه باشد. با وجود این، در بسیاری از مطالعات محیطی از تصاویر Landsat استفاده می‌شود که در آن‌ها روش پیشنهادی می‌تواند مورد استفاده قرار گیرد. همچنین، تلفیق پارامترهای فیزیکی با سایر شاخص‌ها مانند شاخص پوشش گیاهی^۱ و یا با سایر روش‌های استخراج عناصر خالص نیازمند تحقیقات بیشتر است.

۵- منابع

- غفوری، علی، استخراج اطلاعات از یک پیکسل به روش *Unmixing*، پایان‌نامه کارشناسی ارشد، دانشگاه صنعتی خواجه نصیرالدین طوسی، تهران، ۱۳۸۵.
- دستوریان، کریم، آشکارسازی هدف و طبقه‌بندی تصاویر فراتریفی با دقت زیرپیکسل، پایان‌نامه کارشناسی ارشد، دانشگاه فنی دانشگاه تهران، تهران، ۱۳۸۱.
- Adams, J.B., M.O. Smith & A.R. Gillespie, "Imaging Spectroscopy: Interpretation Based on Spectral Mixture Analysis" in C.M. Pieters & P.A.J. Englert (Eds.), *Remote Geochemical Analysis: Elemental and Mineralogical Composition*, Cambridge: Cambridge University Press, Pp. 145- 166, 1993.
- Atkinson, P.M., M.E.J. Cutler & H. Lewis, "Mapping Sub-Pixel Proportional Land Cover with AVHRR Imagery", *International Journal of Remote Sensing*, No. 18, Pp. 917- 35, 1997.
- Bezdek, J.C., R. Ehrlich & W. Full, "FCM: The Fuzzy C-Means Clustering Algorithm", *Computers and Geosciences*, No. 10, Pp. 191-203, 1984.
- Brown, M., S.R. Gunn & H.G. Lewis, "Support Vector Machines for Optimal Classification and Spectral Unmixing", *Ecological Modeling*, No. 120, Pp. 167- 179, 1999.

1. Normalized Difference Vegetation Index

- Brown, M., H.G. Lewis & S.R. Gunn, "Linear Spectral Mixture Models and Support Vector Machines for Remote Sensing", *IEEE Transactions on Geoscience and Remote Sensing*, No. 38, Pp. 2346- 2360, 2000.
- Cracknell, A.P., "Synergy in Remote Sensing- what's in a Pixel?", *International Journal of Remote Sensing*, No. 19, Pp. 2025- 47, 1998.
- Crist, E.P. & R.C. Cicone, "A Physically-Based Transformation of Thematic Mapper Data- the TM Tasseled Cap", *IEEE Transactions on Geoscience and Remote Sensing*, No. 22, Pp. 256- 263, 1984.
- Cross, A.M., J.J. Settle, N.A. Drake & R.T.M. Paivinen, "Subpixel Measurement of Tropical Forest Cover Using AVHRR Data", *International Journal of Remote Sensing*, No. 12, Pp. 1119- 1129, 1991.
- Drake, N. & K. White, "Linear Mixture Modelling of Landsat Ematic Mapper Data for Mapping the Distribution and Abundance of Gypsum in the Tunisian Southern Atlas, Proceedings of Spatial Data 2000", *Remote Sensing Society*, Nottingham, Pp. 168- 177, 1991.
- Fisher, P., "The Pixel: A Snare and a Delusion", *International Journal of Remote Sensing*, No. 18(13), Pp. 2593-2599, 1997.
- Foody, G.M., "Sub-Pixel Methods in Remote Sensing", in S.M.D. Jong & F.D.V.D. Meer (Eds.), *Remote Sensing Image Analysis*, Springer, 2006.
- Foody, G.M. & D.P. Cox, "Sub-Pixel Land Cover Composition Estimation Using a Linear Mixture Model and Fuzzy Membership Functions", *International Journal of Remote Sensing*, No. 15, Pp. 619-631, 1994.
- Foody, G.M., "Approaches for the Production and Evaluation of Fuzzy Land Cover Classifications from Remotely-Sensed Data", *International Journal of Remote Sensing*, No. 17, Pp. 1317- 1340, 1996.
- Horowitz, H.M., R.F. Nalepka, P.D. Hyde & J.P. Morgenstern, "Estimating the Proportions of Objects within a Single Resolution Element



- of a Multispectral Scanner" in *Proceedings of the 7th International Symposium on Remote Sensing of the Environment*, Michigan: Ann Arbor, Pp. 1307- 20, 1971.
- Kauth, R. J. and Thomas, G. S., "The Tasseled Cap -- A Graphic Description of the Spectral-Temporal Development of Agricultural Crops as Seen by LANDSAT" (1976). LARS Symposia. Paper 159. http://docs.lib.psu.edu/lars_symp/159
- Liu, X., X. Li. & X. Zhang, "Determining Class Proportions Within a Pixel Using a New Mixed-Label Analysis Method", *IEEE Transactions on Geoscience and Remote Sensing*, 2009.
- Lucas, N.S., S. Shanmugam & M. Barnsley, "Sub-Pixel Habitat Mapping of a Coastal Dune Ecosystem", *Applied Geography*, No. 22, Pp. 253- 270, 2002.
- Mather, P.M., *Computer Processing of Remotely-Sensed Images: An Introduction*, 3th Ed., London: John Wiley & Sons Ltd, 2004.
- Richards, J.A. & X. Jia, *Remote Sensing Digital Image Analysis*, 4th Ed., Springer-Verlag Berlin Heidelberg, 2006.
- Settle, J.J. & N.A. Drake, "Linear Mixing and the Estimation of Ground Cover Proportions", *International Journal of Remote Sensing*, No. 14, Pp. 1159- 1177, 1993.
- Sohn, Y. & R.M. McCoy, "Mapping Desert Shrub Rangeland Using Spectral Unmixing and Modeling Spectral Mixtures with TM Data", *Photogrammetric Engineering and Remote Sensing*, No. 63, Pp. 707- 716, 1997.
- Tatem, A.J., H.G. Lewis, P.M. Atkinson & M.S. Nixon, "Super-Resolution Land Cover Mapping from Remotely Sensed Imagery Using a Hopfield Neural Network" in G.M. Foody & P.M. Atkinson (Eds.), *Uncertainty in Remote Sensing and GIS*, England: John Wiley & Sons Ltd, 2002.

- Williamson, H.D., "Estimating Sub-Pixel Components of a Semi-Arid Woodland", *International Journal of Remote Sensing*, No. 15, Pp. 3303-3307, 1994.
- Woodcock, C.E., "Uncertainty in Remote Sensing" in G.M. Foody & P.M. Atkinson (Eds.), *Uncertainty in Remote Sensing and GIS*, England: John Wiley & Sons Ltd, 2002.
- Wu, C. & A.T. Murray, "Estimating Impervious Surface Distribution by Spectral Mixture Analysis", *Remote Sensing of Environment*, 2003.
- Zhu, H., "Linear Spectral Unmixing Assisted by Probability Guided and Minimum Residual Exhaustive Search for Subpixel Classification", *International Journal of Remote Sensing*, No. 26 (24), Pp. 5585- 5602, 2005.

